

Расширение решетки боридов

Таблица 2

Соединение	$S, \%$	$\Delta V/V, \%$	$\Delta a/a, \%$	$\Delta c/c, \%$
TiB ₂	43	3,1	1,5	0,1
(Ti, Cr) B ₂	49	1,4	0,4	0,6
ZrB ₂	52	0,9	0,3	0,3
CrB ₂	73	—	—	—

Примечание. S — статистический вес $d5$ -конфигурации; $\Delta V/V$ — относительное изменение объема элементарной ячейки; $\Delta a/a$, $\Delta c/c$ — относительное изменение параметров решетки.

шает sp^2 -конфигурации атомов бора. Поэтому в общем прочность химической связи Me — B убывает в ряду TiB₂ — (Ti, Cr) B₂ — ZrB₂ — CrB₂.

Действительно, максимальное расширение решетки наблюдается в случае диборида титана, обладающего наибольшей прочностью химической связи между слоями атомов металла и бора, что препятствует диффузии гелия между слоями (табл. 2). Кроме того, резко анизотропное искажение элементарной ячейки (расширение по оси a на порядок превышает расширение по оси c) свидетельствует о преимущественном расположении атомов лития и гелия не между металлическими слоями, а внутри слоев, что подтверждает наличие сильных связей между слоями и менее прочных связей внутри слоев. Переход от TiB₂ к (Ti, Cr) B₂ и далее к ZrB₂ сопровождается ослаблением связей Me — B, что облегчает выход гелия из решетки и уменьшает ее «распухание». Одновременно наблюдается уменьшение степени анизотропии расширения решетки. Следовательно, появляется возможность размещения примесных атомов между слоями. Увеличение выхода гелия из решетки при переходе от TiB₂ к ZrB₂ наблюдалось экспериментально в работе [6].

Радиационная стойкость боридов зависит также от условий облучения. Увеличение температуры облучения способствует релаксации внутренних напряжений и препятствует растрескиванию и разрушению образцов. При этом значительно увеличивается их распухание вследствие роста газовых пузырьков. Так, облучение некоторых боридов в «сухом» канале (следовательно, при более высокой температуре) привело к значительному увеличению размеров образцов, причем наблюдалось сваривание образцов между собой и со стенками алюминиевых трубок, в которые они были заключены. Аналогичное явление, описанное в работе [6], представляет собой результат значительного повышения температуры вследствие выгорания ядер B¹⁰, если при этом не принимаются специальные меры для обеспечения интенсивного отвода тепла.

По-видимому, для каждого борида существует некоторая критическая температура, выше которой облучение не вызывает разрушения изделий, подобно тому как это наблюдается для BeO [7].

Поступило в Редакцию 8/VI 1967 г.

ЛИТЕРАТУРА

- Поглощающие материалы для регулирования ядерных реакторов. Перев. с англ. под ред. Б. Г. Арабея и В. В. Чекунова. М., Атомиздат, 1965.
- Г. В. Самсонов. «Атомная энергия», 10, 388 (1962).
- М. С. Ковалченко, Г. В. Самсонов. В сб. «Высокотемпературные неорганические соединения». Киев, «Наукова думка», 1965, стр. 456.
- Г. В. Самсонов. «Укр. хим. ж.», 31, 1233 (1965).
- Г. В. Самсонов. «Порошковая металлургия», № 12, 49 (1966).
- A. Holden et al. Properties of Reactor Materials and the Effects of Radiation Damage. London, Butterworths, p. 457.
- C. Raw. J. Nucl. Materials, 11, 320 (1964).

Изотопная гамма-установка с составным облучателем

Г. Н. ПЬЯНКОВ, М. А. БРАШКИН

В Институте физической химии им. Л. В. Писаревского АН УССР создана гамма-установка с составным облучателем, предназначенная для радиационной обработки конического изделия из стеклопластика в металлической форме, общий вид которой показан на рис. 1. Она смонтирована в водном бассейне изотопной гамма-установки УКП-30000 [1].

Облучатель (рис. 2) изготовлен из нержавеющей стали марки 1Х18Н9Т. Он неподвижно крепится на дне бассейна и постоянно находится под водой, которая служит биологической защитой. Облучатель состоит из цилиндрической и конической частей. Цилиндрическая часть с внутренним диаметром 152 мм образована 16 трубками диаметром 14 × 12 мм, расположенным равномерно по окружности цилиндра. Высота этой части облучателя 95 мм. Коническая часть

состоит из четырех трубок длиной 250 мм и 12 трубок, укороченных на 1/3.

Каждая часть облучателя заряжается препаратами Co⁶⁰ раздельно. После этого цилиндрическая и коническая части жестко соединяются друг с другом.

Для регулировки мощности дозы вдоль конической части изделия в облучателе предусмотрено винтовое устройство, при помощи которого дистанционно перемещается кольцо, поддерживающее трубки. Перемещение кольца по вертикали изменяет угол наклона трубок, которые свободно подвешены и могут поворачиваться в вертикальной плоскости по радиальным прорезям специальной шайбы.

Облучатель заряжен 44 стандартными препаратами Co⁶⁰ активностью 400–1200 $\mu\text{экв}$ радия каждый.

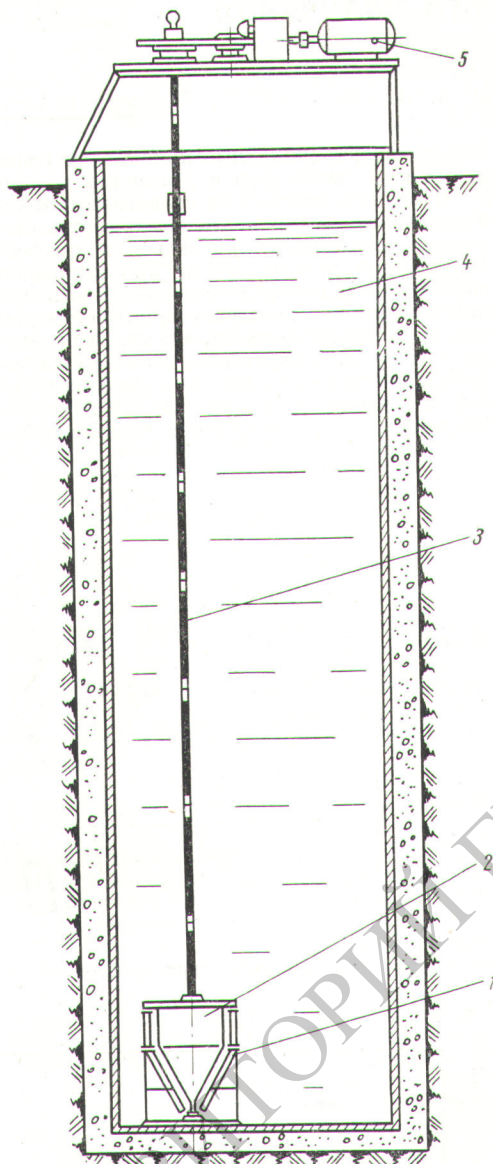


Рис. 1. Общий вид гамма-установки:
1 — облучатель; 2 — металлическая форма;
3 — штанга-держатель; 4 — бассейн; 5 — привод.

Для усреднения дозы облучения изделие в процессе обработки равномерно вращается при помощи механического привода.

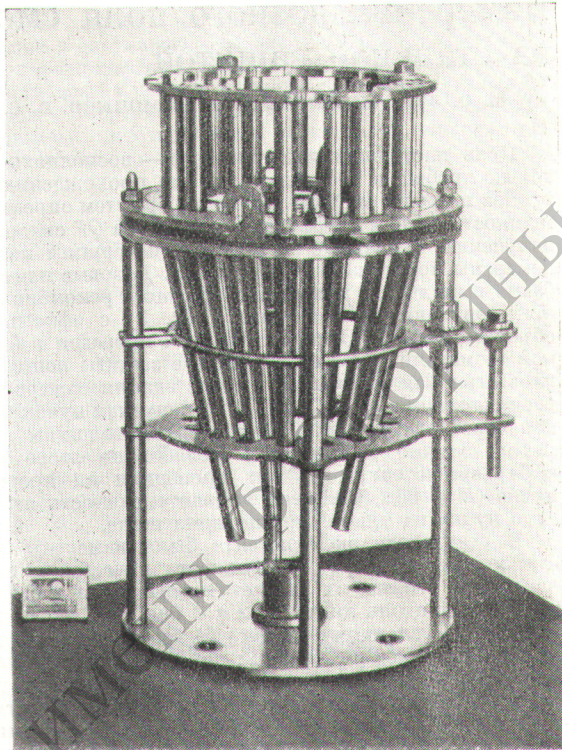


Рис. 2. Облучатель для обработки конических изделий.

Дозиметрия дюралюминиевой формы проводилась непластифицированными пленками триацетата целлюлозы [2], предварительно откалиброванными по ферросульфатному раствору. Мощность дозы, усредненная по толщине изделия, составляла 470 рад/сек.

Поступило в Редакцию 16/VIII 1967 г.

ЛИТЕРАТУРА

- Г. Н. Пьянков, М. А. Брашкин, Н. В. Кулупина. «Атомная энергия», 19, 75 (1965).
- О. П. Верхградский, И. Н. Червекова, А. М. Кабакчи. Дозиметрия больших доз. Ташкент, Изд-во ФАН УзбССР, 1966, стр. 79.